

КРАТКИЕ СООБЩЕНИЯ

ЦЕНТРЫ СПИН-ЗАВИСИМОЙ РЕКОМБИНАЦИИ В СТРУКТУРАХ,
ФОРМИРУЕМЫХ ИМПЛАНТАЦИЕЙ ИОНОВ АЗОТА В Si

Каранович А. А., Двуреченский А. В., Тыченко И. Е.,
Качурин Г. А.

Имплантация ионов азота в кремний с целью создания захороненного слоя Si_3N_4 представляется одним из перспективных методов создания структур кремний-на-изоляторе (КНИ) [1], растущий интерес к которым обусловлен возможностью изготовления на основе этих структур приборов с повышенным быстродействием и радиационной стойкостью и создания трехмерных интегральных схем. Успешное развитие работ в данной области требует четких представлений о дефектности отсеченного слоя Si, качестве границы раздела кремний—изолятор. Дефекты в структурах с захороненным Si_3N_4 исследовались, в частности, методом ЭПР [2]. Наблюдавшийся при этом сигнал (изотропная линия с $g=2.0039 \pm 0.0002$) идентифицировался с оборванными связями атомов Si в захороненном аморфном нитриде.

В настоящей работе для исследования дефектов в облученных высокозергетическими ионами слоях Si впервые использовался метод спин-зависимой рекомбинации (СЗР) неравновесных носителей [3–5], который по сравнению с обычным ЭПР обладает рядом преимуществ. Во-первых, в отличие от ЭПР, где наблюдаемый сигнал поглощения СВЧ излучения прямо пропорционален числу парамагнитных центров, в СЗР методике интенсивность сигнала (относительное изменение времени жизни неравновесных носителей) определяется изменением поляризации спиновой системы в момент резонанса и при определенных условиях (когда канал рекомбинации через данный центр является доминирующим) не зависит от числа центров рекомбинации. Это позволяет эффективно использовать методику СЗР для тонких имплантированных слоев, в частности в КНИ структурах. Во-вторых, в случае КНИ структур данный метод позволяет наблюдать только те дефекты, которые локализованы в проводящем слое Si.

Исследовались структуры, сформированные имплантацией ионов N^+ ($E=135$ кэВ, доза $5 \cdot 10^{18} \div 10^{19}$ см $^{-2}$) в пластинки кремния n - и p -типа с ориентацией плоскости {111} или {100}. Облучение проводилось при температурах мишени $T_i=700 \div 1000$ °C. Имплантированные слои характеризуются n -типом проводимости (что обусловлено, по-видимому, проявлением донорных свойств внедренного азота [1]), вследствие чего при использовании в качестве подложки кремния p -типа формируется $p-n$ -переход. Для проведения контрольных измерений (с целью выяснения роли азота) использовались пластины кремния (ориентации плоскости {100}) n -типа, облученные ионами бора ($E=60$ кэВ, $\Phi=10^{15}$ см $^{-2}$, $T_i=20 +$ отжиг 900 °C в течение 2 ч), и кремния p -типа, облученного фосфором ($E=100$ кэВ, $\Phi=10^{16}$ см $^{-2}$, $T_i=900$ °C).

Спектры спин-зависимой рекомбинации записывались путем регистрации резонансного изменения одной из следующих величин: 1) фотопроводимости [3] (вдоль проводящего слоя Si при подсветке лампой накаливания мощностью 100 Вт); 2) напряжения на $p-n$ -переходе при прямом или обратном смещении [4];

3) фотодиод, возникающей на $p-n$ -переходе при освещении. Измерения проводились в X-диапазоне СВЧ (частота 9 ГГц, мощность кластрона 250 мВт) с использованием модуляции магнитного поля (35 кГц) или мощности СВЧ излучения (1 кГц) при комнатной температуре; использовались индийевые контакты.

Как показали исследования, форма и интенсивность наблюдаемого сигнала практически не зависят от способа регистрации, а определяются условиями

приготовления (температурой и дозой облучения) исследовавшихся образцов. Интенсивность сигналов $\delta\sigma/\Delta\sigma$, $\Delta V/V$ или $\Delta\varepsilon/\varepsilon$ ($\Delta\sigma$ — величина фотопроводимости; V — напряжение на $p-n$ -переходе; ε — фотодиод; $\delta\sigma$, ΔV и $\Delta\varepsilon$ — их изменение в момент резонанса) в исследовавшихся образцах лежала в пределах $(1 \div 3) \times 10^{-5}$.

При температурах облучения $T_i > 800^\circ\text{C}$ и дозах $\geq 5 \cdot 10^{16} \text{ см}^{-2}$ наблюдается интенсивный анизотропный спектр (рис. 1). Угловая зависимость положений линий спектра при вращении магнитного поля в плоскости $\{110\}$ (рис. 2) отвечает дефекту со спином $s=1/2$ и аксиально симметричным (относительно оси $\langle 111 \rangle$) g -тензором с главными значениями $g_{||}=2.0010 \pm 0.0005$, $g_{\perp}=2.0090 \pm 0.0005$.

При меньших дозах облучения ($< 10^{16} \text{ см}^{-2}$) или меньших температурах ($\leq 750^\circ\text{C}$) ани-

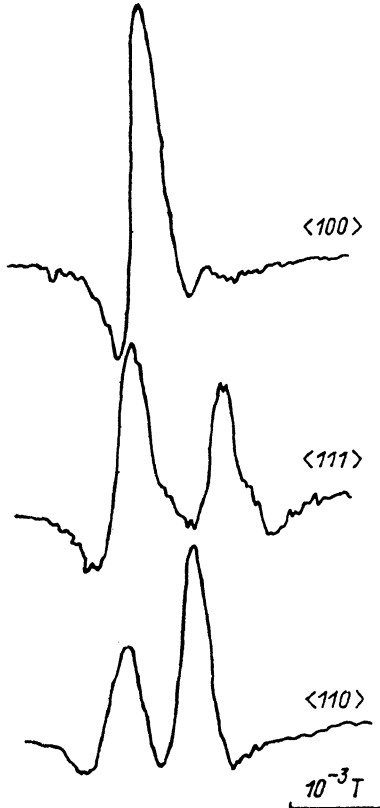


Рис. 1. Спектры спин-зависимой фотопроводимости (вторая производная) в структурах, сформированных имплантацией ионов азота с энергией $E=135$ кэВ дозой $5 \cdot 10^{16} \text{ см}^{-2}$ ($T_i=850^\circ\text{C}$, подложка p -типа с ориентацией плоскости $\{100\}$), при различных ориентациях магнитного поля.

Частота модуляции магнитного поля
35 кГц, $T=300$ К.

ошибки) с дефектами, проявляющимися на границе раздела Si— SiO_2 (дефект P_{bO} [6]) или Si— Si_3N_4 (дефект P_{bN} [7]), которые представляют собой оборванную связь трехкоординированного атома кремния Si≡Si. В нашем случае подобные дефекты могут быть локализованы либо на границах захороненных включений кристаллического Si_3N_4 , которые образуются при достаточно больших дозах и высоких температурах облучения ($\Phi > 5 \cdot 10^{16} \text{ см}^{-2}$, $T_i \geq 850^\circ\text{C}$) [8], либо на поверхности отсеченного слоя Si, покрытого тонким слоем естественного окисла. В последнем случае, однако, спектр P_{bO} должен был бы присутствовать независимо от типа имплантированной примеси, что не согласуется с экспериментом: в $p-n$ -переходах, создаваемых имплантацией бора или фосфора, наблюдается лишь одиночная изотропная линия ($g=2.0040 \pm 0.0005$). Подобный сигнал СЗР наблюдался в кремнии с дислокациями (см., например, [4, 5]) и в нашем случае связан, очевидно, с дислокационными

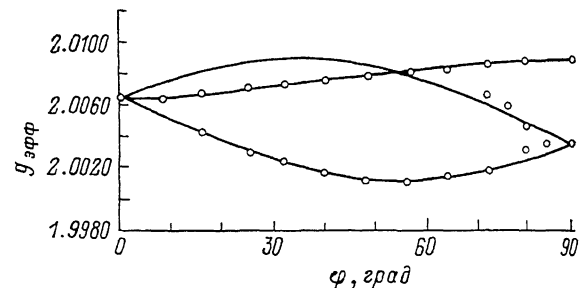


Рис. 2. Угловая зависимость эффективных значений g -факторов линий спектра при вращении магнитного поля в плоскости $\{110\}$.

Точки — эксперимент, линии — расчет.

тропный спектр отсутствует, а наблюдается одиночная изотропная линия с g -фактором, равным 2.0035 ± 0.0005 .

По параметрам g -тензора обнаруженный анизотропный дефект совпадает (в пределах

изменения Φ) с дефектом, проявляющимися на границе раздела Si— SiO_2 (дефект P_{bO} [6]) или Si— Si_3N_4 (дефект P_{bN} [7]), которые представляют собой оборванную связь трехкоординированного атома кремния Si≡Si. В нашем случае подобные дефекты могут быть локализованы либо на границах захороненных включений кристаллического Si_3N_4 , которые образуются при достаточно больших дозах и высоких температурах облучения ($\Phi > 5 \cdot 10^{16} \text{ см}^{-2}$, $T_i \geq 850^\circ\text{C}$) [8], либо на поверхности отсеченного слоя Si, покрытого тонким слоем естественного окисла. В последнем случае, однако, спектр P_{bO} должен был бы присутствовать независимо от типа имплантированной примеси, что не согласуется с экспериментом: в $p-n$ -переходах, создаваемых имплантацией бора или фосфора, наблюдается лишь одиночная изотропная линия ($g=2.0040 \pm 0.0005$). Подобный сигнал СЗР наблюдался в кремнии с дислокациями (см., например, [4, 5]) и в нашем случае связан, очевидно, с дислокационными

штетлями, присутствующими обычно в имплантированных слоях при аналогичных условиях облучения [9]. Кроме того, при ориентации поверхности {111} спектр $P_{\text{t},0}$ от границы раздела Si—SiO₂ должен состоять из одной линии [10] поскольку все оборванные связи имеют одинаковую ориентацию), в нашем же случае наблюдается несколько ориентаций дефекта одновременно. Следовательно, наблюдаемый анизотропный сигнал обусловлен, очевидно, дефектами за границе раздела Si—Si₃N₄, имеющей существенно непланарный характер.

Изотропный сигнал, наблюдавшийся при малых дозах внедренного N⁺ ($< 10^{18}$ см⁻²), так же как и в случае имплантации B⁺ и P⁺, связан, очевидно, с дислокациями. При больших дозах ($> 5 \cdot 10^{18}$ см⁻²) и низких температурах ($T_s \leq 750$ °C) имплантации, когда формируется захороненный слой аморфного нитрида кремния, источником наблюдаемого сигнала могут являться и оборванные связи Si на границе с аморфным нитридом.

Примечательно, что в образцах, облученных большими дозами N⁺ (10¹⁸ см⁻²) при температурах $T_s \geq 850$ °C, когда данные электронной дифракции свидетельствуют об аморфной структуре захороненного нитрида кремния, наблюдается анизотропный спектр $P_{\text{t},N}$. Этот результат указывает, очевидно, на наличие включений кристаллического Si₃N₄ в аморфном захороненном слое, что согласуется с данными работы [10].

Таким образом, применение методики СЭР позволило обнаружить в структурах, сформированных имплантацией ионов азота, два сигнала: 1) изотропный (с $g = 2.0035 \pm 0.0005$), связанный предположительно с дислокациями или оборванными связями Si на границе раздела кремний—аморфный нитрид кремния; 2) анизотропный спектр $P_{\text{t},N}$, отвечающий, очевидно, оборванным связям на трехкоординированных атомах Si, локализованных на границе раздела Si с включениями кристаллического Si₃N₄.

Список литературы

- [1] Reeson K. J. // Nucl. Instr. Meth. Phys. Rev. B. 1987. V. 19/20. P. 269—278.
- [2] Hobbs A., Barklie R. C., Hemment P. L. F., Reeson K. // J. Phys. C: Sol. St. Phys. 1986. V. 19. N. 32. P. 6433—6439.
- [3] Lepin D. // Phys. Rev. 1972. V. B6. N 2. P. 436—441.
- [4] Борисов Ф. И., Стриха В. И., Третяк О. В. // ФТП. 1981. Т. 15. В. 10. С. 1978—1982.
- [5] Solomon I. // Sol. St. Commun. 1976. V. 20. N 3. P. 215—217.
- [6] Poindexter E. H., Caplan P. J., Deal B. E., Razouk R. R. // J. Appl. Phys. 1979. V. 50. N 9. P. 5847—5854.
- [7] Stesmans A., Van Gorp G. // Phys. Rev. B. 1989. V. 39. N 4. P. 2864—2867.
- [8] Качурин Г. А., Тыченко И. Е., Попов В. П., Тийс С. А., Плотников А. Е. // ФТП. 1989. Т. 23. В. 3. С. 434—437.
- [9] Kachurin G. A., Tyschenko I. E., Fedina L. I. // Proc. 15 Int. Conf. Def. Semicond. Paris, France, 1986. P. 135.
- [10] Kachurin G. A., Tyschenko I. E., Plotnikov F. T., Popov V. P. // 3 Int. Conf. Energy Pulse Part. Beam Mod. Matter. Dresden, GDR, 1989. P. 8.09.

Институт физики полупроводников
СО АН СССР
Новосибирск

Получено 15.12.1989
Принято к печати 20.12.1989

ФТП, том 24, вып. 6, 1990

ДУАЛЬНЫЕ ДАТЧИКИ ХОЛЛА

Добровольский В. Н., Сырых А. Д.

Датчики Холла применяются для измерения индукции магнитного поля, мощности, в качестве гираторов, циркуляторов, смесителей частоты и т. д. [1]. Их конструкция показана на рис. 1. К контактам 1 и 3 на полупроводниковом образце в форме пластины приложено напряжение U_1^0 и через них протекает ток I_1^0 . Из-за эффекта Холла в магнитном поле на контактах 2 и 4 появляется вы-